

В.И. Коробко, В.К. Шапкин

К ТЕОРИИ НЕАВТОМОДЕЛЬНЫХ СТРУЙНЫХ ТЕЧЕНИЙ

Проинтегрированы в конечном виде уравнения, определяющие первые неавтономные члены в разложении скоростей в ряд по обратным степеням радиуса кривизны в задаче о развитии плоской ламинарной струи на пористой криволинейной поверхности при степенном задании изменения скорости отсоса или инъекции жидкости через пористую поверхность и в задаче о развитии осесимметричной ламинарной струи вдоль поверхности тела с осевой симметрией. Полученные решения позволяют учесть влияние кривизны поверхности тела на распределение скоростей и давления в струях и определить координаты точек отрыва струй от поверхности.

1. Распространение затопленной струи вдоль пористой криволинейной поверхности

Уравнения движения и неразрывности вязкой несжимаемой жидкости в плоском ламинарном пограничном слое, развивающемся на искривленной пористой поверхности, в цилиндрической системе координат [I] имеет вид (рис.1)

$$\left(1 - \frac{y}{R}\right) u \frac{\partial u}{\partial x} + v \frac{\partial u}{\partial y} + \frac{uv}{R} = -\frac{1}{\rho} \frac{\partial p}{\partial x} + \nu \left(\frac{\partial^2 u}{\partial y^2} + \frac{1}{R} \frac{\partial u}{\partial y}\right); \quad (1.1)$$

$$\frac{u^2}{R} = \frac{1}{\rho} \frac{\partial p}{\partial y}; \quad \frac{\partial u}{\partial x} + \frac{\partial}{\partial y} \left[\left(1 + \frac{y}{R}\right) v \right] = 0.$$

Здесь x и u - продольная координата и составляющая скорости соответственно; y и v - нормальная координата и составляющая скорости; p - давление; ρ - плотность жидкости; $R(x)$ - соответствующий радиус кривизны поверхности. Кривизна поверхности в уравнениях (1.1) учитывается лишь в первом приближении.

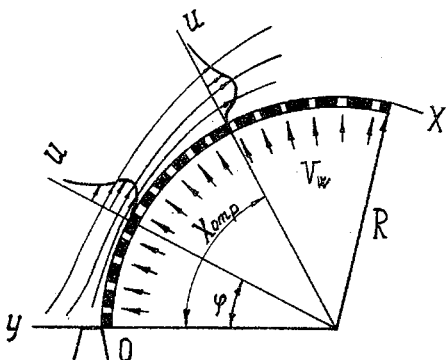


Рис.1. Схема течения струи вдоль пористой криволинейной поверхности

Граничные условия:

$$u=0, \quad v=v_w = \left(\frac{x}{d}\right)^\infty \frac{v_0}{R} \quad \text{при } y=0, \quad (I.2)$$

$$u=0, \quad p=p_\infty \quad \text{при } y=\infty.$$

Для нормальной составляющей скорости на искривленной пористой поверхности принята степенная зависимость от координаты x , а d - ширина сопла. Считаем, что свойства подводимой или отводимой через поверхность жидкости те же, что и в струе.

Интегральное условие [I]:

$$\int_0^{\infty} \left[u^2 \int_0^y u dy - \frac{1}{R} \left(\int_y^{\infty} u^2 dy \right) \left(\int_0^y u dy \right) \right] dy - \frac{1}{R} \int_0^x \left[\frac{v}{2} \int_0^{\infty} u^2 dy + \int_0^{\infty} (v-v_w) \left(\int_y^{\infty} u^2 dy \right) dy - \int_0^{\infty} uv \left(\int_0^y u dy \right) dy \right] dx = E_0 = const. \quad (I.3)$$

При выводе интегрального условия (I.3) использовано второе уравнение системы (I.I), которое при интегрировании поперек пограничного слоя дает

$$\frac{p_\infty - p}{\rho} = \frac{1}{R} \int_y^{\infty} u^2 dy. \quad (I.4)$$

Введем функцию тока ψ , удовлетворяя уравнению неразрывности (I.I)

$$u = \frac{\partial \psi}{\partial y}, \quad v = -\left(1 - \frac{y}{R}\right) \frac{\partial \psi}{\partial x}. \quad (I.5)$$

Подставим (I.5) в первое уравнение системы (I.I) с учетом (I.4). Получим дифференциальное уравнение третьего порядка относительно ψ :

$$\begin{aligned} & \left(1 - \frac{y}{R}\right) \frac{\partial \psi}{\partial y} \frac{\partial^2 \psi}{\partial x \partial y} - \left(1 - \frac{y}{R}\right) \frac{\partial \psi}{\partial y} \frac{\partial^2 \psi}{\partial y^2} - \frac{1}{R} \left(1 - \frac{y}{R}\right) \frac{\partial \psi}{\partial x} \frac{\partial \psi}{\partial y} = \\ & = \frac{1}{R} \frac{\partial}{\partial x} \left[\int_y^{\infty} \left(\frac{\partial \psi}{\partial y}\right)^2 dy \right] + \nu \left(\frac{\partial^3 \psi}{\partial y^3} + \frac{1}{R} \frac{\partial^2 \psi}{\partial y^2} \right). \end{aligned} \quad (I.6)$$

Введем новые переменные

$$\xi = x; \quad \eta = y(\nu x)^{-3/4}. \quad (I.7)$$

Уравнение (I.6) в новых переменных примет вид

$$\begin{aligned}
 & -\frac{3}{4} \left(\frac{\partial \psi}{\partial \eta}\right)^2 + x \frac{\partial \psi}{\partial \eta} \frac{\partial^2 \psi}{\partial x \partial \eta} - x \frac{\partial \psi}{\partial x} \frac{\partial^2 \psi}{\partial \eta^2} - (\nu x)^{1/4} \frac{\partial^3 \psi}{\partial \eta^3} + \frac{1}{R} \left[-\nu^{3/4} x^{7/4} \frac{\partial \psi}{\partial x} \frac{\partial \psi}{\partial \eta} + \right. \\
 & + \frac{3}{4} \nu (\nu x)^{3/4} \left(\frac{\partial \psi}{\partial \eta}\right)^2 + \frac{3}{4} (\nu x)^{3/4} \frac{\partial}{\partial x} \left[\int_2^{\infty} \left(\frac{\partial \psi}{\partial \eta}\right)^2 d\eta \right] - \nu x \frac{\partial^2 \psi}{\partial \eta^2} - \\
 & \left. - \nu^{3/4} x^{7/4} \frac{\partial \psi}{\partial \eta} \frac{\partial^2 \psi}{\partial x \partial \eta} + \nu^{3/4} x^{7/4} \frac{\partial \psi}{\partial x} \frac{\partial^2 \psi}{\partial \eta^2} \right] = 0.
 \end{aligned} \tag{I.8}$$

Здесь и далее вместо ξ сохранено прежнее обозначение x .
 Решение уравнения (I.8) ищем в виде ряда по обратным степеням радиуса кривизны:

$$\psi(x, \eta) = (\nu x)^{1/4} \left\{ f_0(\eta) + \left[f_1(\eta) - \left(\frac{x}{d}\right)^{\alpha+1} \frac{v_0}{\nu x(x+1)} \right] \frac{(\nu x)^{3/4}}{R} + \dots \right\} \tag{I.9}$$

Здесь $f_0(\eta)$ - автомодельное решение задачи о развитии струи вдоль плоскости [2].

Подставим выражение (I.9) в уравнение (I.8) и приравняем коэффициенты при одинаковых степенях R . Получим систему дифференциальных уравнений:

$$\begin{aligned}
 & f_0''' + \frac{1}{4} f_0 f_0'' + \frac{1}{2} f_0'^2 = 0; \\
 & f_1''' + \frac{1}{4} f_0 f_1'' + \frac{1}{4} f_0' f_1' + f_0'' f_1 = \left(\frac{1}{2} f_0'^2 + \frac{1}{4} f_0 f_0''\right) \eta + \\
 & + \frac{1}{4} \int_2^{\infty} f_0'^2 d\eta - \frac{1}{4} f_0 f_0' - f_0'' \left[1 + \left(\frac{x}{d}\right)^{\alpha} \frac{v_0}{\nu} \right]; \\
 & \dots \dots \dots
 \end{aligned} \tag{I.10}$$

Здесь и далее штрих обозначает дифференцирование по η . Запишем граничные условия (I.2) с учетом (I.5) и (I.9):

$$f_0(0) = f_1(0) = f_0'(0) = f_1'(0) = 0; \quad f_0'(\infty) = f_1'(\infty) = 0. \tag{I.11}$$

Интегральное условие (I.3) для функций $f_0(\eta)$ и $f_1(\eta)$ согласно формулам (I.5), (I.7) и (I.9) примет вид

$$\int_0^{\infty} f_0 f_0'^2 d\eta = E_0;$$

$$\int_0^{\infty} \left\{ 2f_0 f_0' f_1' + f_0'^2 \left[f_1 - \left(\frac{x}{d} \right)^{\infty} \frac{v_0}{v} \right] \right\} d\eta = \int_0^{\infty} \left[\left(\frac{2}{3} f_0 + 2f_0' \right) \int_0^{\infty} f_0'^2 d\eta \right] d\eta + \int_0^{\infty} \left[\frac{2}{3} f_0'^2 + f_0 f_0' \left(\frac{1}{3} f_0 - 2f_0' \right) \right] d\eta + \left(\frac{x}{d} \right)^{\infty} \frac{v_0}{v} \int_0^{\infty} f_0'^2 d\eta. \quad (I.12)$$

Решение первого уравнения (I.10) с соответствующими граничными (I.11) и интегральными (I.12) условиями изложено в работе [2]. Это решение можно представить в параметрической форме, работа [3]:

$$f_0 = \alpha z^2, \quad f_0' = \frac{\alpha^2}{6} z(1-z^2), \quad \alpha = \sqrt[4]{40E_0},$$

$$\eta = \frac{12}{\alpha} \int_0^z \frac{dz}{1-z^2} = \frac{2}{\alpha} \left[\ln \frac{1+z+z^2}{(1-z)^2} + 2\sqrt{3} \operatorname{arctg} \frac{z\sqrt{3}}{z+2} \right]. \quad (I.13)$$

Второе уравнение системы (I.10) с учетом первого преобразуется в

$$f_1''' + \frac{1}{4} f_0 f_1'' + \frac{1}{4} f_0' f_1' + f_0'' f_1 = \left(\frac{1}{2} f_0'^2 + \frac{1}{4} f_0 f_0'' \right) \eta - f_0'' \left(\frac{x}{d} \right)^{\infty} \frac{v_0}{v}. \quad (I.14)$$

Решение однородного уравнения, соответствующее (I.14), изложено в работе [4]. Учитывая это, запишем общее решение уравнения (I.14):

$$f_1(z) = z(1-z^2) \int_0^z \frac{12}{z^2(1-z^2)^2} \left[C_1 F\left(\frac{1}{6} + i \frac{\sqrt{47}}{6}; \frac{1}{6} - i \frac{\sqrt{47}}{6}; \frac{1}{3}; z^2 \right) + C_2 z^2 F\left(\frac{5}{6} + i \frac{\sqrt{47}}{6}; \frac{5}{6} - i \frac{\sqrt{47}}{6}; \frac{5}{3}; z^2 \right) \right] dz + C_3 z(1-z^2) + \bar{f}_1(z) \quad (I.15)$$

Здесь C_1, C_2, C_3 - постоянные интегрирования; $\bar{f}_1(z)$ - частное решение уравнения (I.14), а переменная z связана с переменной η формулой (I.13). Частное решение уравнения (I.14), удовлетворяющее граничным условиям (I.11), имеет вид

$$\bar{f}_1(z) = \frac{1}{7} \left[-\frac{3}{2} f_0' \eta + f_0 \eta + 6 - 7 \left(\frac{x}{d} \right)^{\infty} \frac{v_0}{v} \right]. \quad (I.16)$$

Постоянные интегрирования определяются методом, изложенным в работе [3]

$$C_1 = \frac{1}{14} - \left(\frac{x}{d} \right)^{\infty} \frac{v_0}{12v}, \quad C_2 = \frac{2-B}{14B} + \left(\frac{x}{d} \right)^{\infty} \frac{v_0 B}{12vB}, \quad C_3 = 0, \quad (I.17)$$

где

$$B = -\frac{\Gamma\left(\frac{1}{3}\right)}{\Gamma\left(\frac{1}{6} + i \frac{\sqrt{47}}{6}\right) \Gamma\left(\frac{1}{6} - i \frac{\sqrt{47}}{6}\right)}, \quad \bar{B} = -\frac{\Gamma\left(\frac{5}{3}\right)}{\Gamma\left(\frac{5}{6} + i \frac{\sqrt{47}}{6}\right) \Gamma\left(\frac{5}{6} - i \frac{\sqrt{47}}{6}\right)}. \quad (I.18)$$

Таким образом, с учетом формул (I.15), (I.16) и (I.17) решение уравнения (I.14) представляется в форме

$$\begin{aligned}
 f_1(z) = & \frac{1}{7} \left[6 + 7 \left(\frac{x}{d} \right)^{\infty} \frac{v_0}{v} \right] + 12 z^2 \int_0^z \frac{dz}{1-z^3} - 36 z (1-z^3) \left(\int_0^z \frac{dz}{1-z^3} \right)^2 + \\
 & + \left[\frac{6}{7} - \left(\frac{x}{d} \right)^{\infty} \frac{v_0}{v} \right] z (1-z^3) \int_0^z \frac{F\left(\frac{1}{6} + i \frac{\sqrt{47}}{6}; \frac{1}{6} - i \frac{\sqrt{47}}{6}; \frac{1}{3}; z^3\right)}{z^2 (1-z^3)^2} dz + (1.19) \\
 & + \left[\frac{6(2-B)}{7B} + \left(\frac{x}{d} \right)^{\infty} \frac{v_0}{v} \frac{B}{B} \right] z (1-z^3) \int_0^z \frac{F\left(\frac{5}{6} + i \frac{\sqrt{47}}{6}; \frac{5}{6} - i \frac{\sqrt{47}}{6}; \frac{5}{3}; z^3\right)}{(1-z^3)^2} dz.
 \end{aligned}$$

Из первого уравнения системы (I.10) имеем

$$\int_0^{\infty} f_0'^2 d\eta = 4 f_0''(\eta) + f_0 f_0'. \quad (1.20)$$

Второе интегральное условие (I.12) с учетом (I.19) и (I.20) примет вид

$$\begin{aligned}
 \left(\frac{x}{d} \right)^{\infty} \frac{v_0}{v} \left[\frac{1}{54} - 4 f_0''(0) + \frac{\Gamma\left(\frac{1}{3}\right)}{36 \Gamma\left(\frac{1}{6} + i \frac{\sqrt{47}}{6}\right) \Gamma\left(\frac{1}{6} - i \frac{\sqrt{47}}{6}\right)} \right] = \\
 = \frac{B}{21} - \frac{5}{63} - \frac{40}{3} f_0'(0) + \frac{f_0^3(\infty)}{3}. \quad (1.21)
 \end{aligned}$$

Подставляя значение $f_0''(0)$ и гамма - функций в интегральное условие, убеждаемся в его выполнении. При проверке были использованы таблицы из работы [5].

Согласно формулам (I.5), (I.9), (I.13) и (I.19) выведем уравнение осевой скорости:

$$u = (\nu x)^{-1/2} \left[f_0'(\eta) + \frac{(\nu x)^{3/4}}{R} f_0'(\eta) \right]. \quad (1.22)$$

Полагаем, что ряд (I.22) для конечных коэффициентов будет сходящимся, причем возможно это при условии

$$\bar{\alpha} = \left| \frac{(\nu x)^{3/4}}{R} \right| < 1.$$

Изменение осевой скорости по ширине струи представлено на рис. 2. Здесь принято $\bar{u} = (\nu x)^{1/2} u$ и $\bar{y} = (x/d)^{\infty} (v_0/\nu)$. Из рисунка видно, что при инъекции и при увеличении кривизны стенки профиль скорости вдоль нее приобретает отрывной характер и уже при $\bar{\alpha} \approx 0,2$ обнаруживается слабый ток вблизи стенки. При инъекции жидкости ($\bar{y} > 0$)

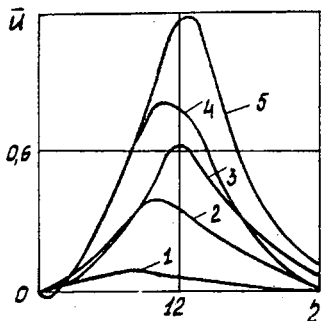


Рис.2. Изменение скорости по сечению плоской струи
 1- $\alpha=0$ ($\gamma=0$); 2- $\alpha=0,1$ ($\gamma=0$);
 3- $\alpha=0,2$ ($\gamma=0,01$); 4- $\alpha=0,2$ ($\gamma=0$); 5- $\alpha=0,2$ ($\gamma=0,01$)

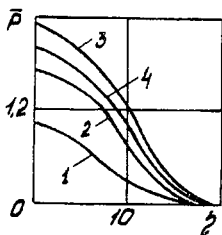


Рис.3. Изменение давления \bar{p} по сечению струи
 1- $\alpha=0$; 2- $\alpha=0,01$ ($\gamma=0$);
 3- $\alpha=0,02$ ($\gamma=0$); 4- $\alpha=0,01$ ($\gamma=0,01$)

максимальное значение скорости отодвигается от поверхности, напряжение трения на ней уменьшается при увеличении кривизны и инжекции жидкости. Это следует из выражения

$$\tau_{wr} = \mu \frac{\partial u}{\partial y} \Big|_{y=0} = \mu (\nu x)^{-5/4} [f_0''(0) + \alpha f_1''(0)]$$

Из условия $\tau_{wr} = 0$ найдем точку отрыва струи от поверхности:

$$x_{omp} = \frac{1}{\nu} \left[-R \frac{f_0''(0)}{f_1''(0)} \right]^{4/3}$$

Подставим в это выражение значения $f_0''(0)$ и $f_1''(0)$ согласно формулам (1.13) и (1.19), получим

$$x_{omp} = \frac{1}{\nu} \left\{ -R \left[\frac{6(2-B)}{7B} + \gamma \frac{B}{B} \right] \right\}^{4/3} \quad (1.23)$$

Из выражения (1.23) следует, что координата точки отрыва зависит от свойств жидкости, от радиуса кривизны поверхности и скорости инжекции или отсоса жидкости через криволинейную стенку.

Распределение давления поперек струи, согласно (1.4) и (1.22), определяется формулой

$$\frac{p_m - p}{\rho} = \frac{1}{R(\nu x)^{1/4}} \int_0^{\bar{y}} [f_0''(\eta) + 2\alpha f_1''(\eta)] f_1'(\eta) d\eta \quad (1.24)$$

Изменение давления поперек струи представлено на рис.3. Здесь принято $\bar{p} = 18(p_m - p)R(\nu x)^{1/4}/\rho$. Из рисунка видно очень сильное влияние кривизны стенки на изменение давления поперек струи. При инжек-

В жидкости давление в струе увеличивается по сравнению с давлением при той же кривизне и отсутствии инъекции.

2. Распространение затопленной струи вдоль поверхности тела с осевой симметрией

Уравнения движения и неразрывности вязкой несжимаемой жидкости в осесимметричном ламинарном пограничном слое, развивающемся на поверхности тела с осевой симметрией, в цилиндрической системе координат имеют вид [6]

$$\left(1 - \frac{y}{R}\right) u \frac{\partial u}{\partial x} + v \frac{\partial u}{\partial y} + \frac{uv}{R} = -\frac{1}{\rho} \frac{\partial p}{\partial x} + \nu \left(\frac{\partial^2 u}{\partial y^2} + \frac{1}{R} \frac{\partial u}{\partial y} \right)$$

$$\frac{u^2}{R} = \frac{1}{\rho} \frac{\partial p}{\partial y}, \quad \frac{\partial}{\partial x} (av) + \frac{\partial}{\partial y} \left[\left(1 + \frac{y}{R}\right) av \right] = 0. \quad (2.1)$$

Здесь x и y - координаты, параллельная и нормальная поверхности (рис.4); u, v - составляющие скорости вдоль оси x и y соответственно; $a(x)$ - радиус осесимметричного тела; $R(x)$ - соответствующий радиус кривизны поверхности вдоль оси x . Ширина струи считается малой по сравнению с $a(x)$. Кривизна R велика, так что

$\frac{da}{dx} \sim \delta$. Кривизна поверхности в уравнениях (2.1) учитывается в первом приближении.

Граничные условия:

$$u = v = 0 \quad \text{при } y = 0, \quad (2.2)$$

$$u = 0, \quad p = p_\infty \quad \text{при } y = \infty.$$

Интегральное условие получаем методом, аналогичным [1], оно имеет вид

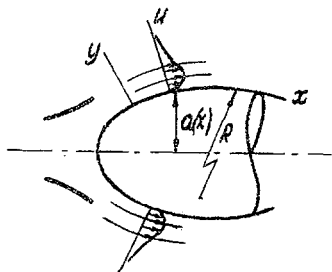


Рис.4. Схема течения струи вдоль тела с осевой симметрией

$$\frac{d}{dx} \left[\int_0^{\infty} a v^2 \left(\int_0^y a u^2 dy \right) dy \right] - \frac{\alpha}{R} \frac{d}{dx} \left\{ \int_0^{\infty} \left[\left(\int_0^y a u^2 dy \right) \left(\int_0^y u^2 dy \right) \right] dy \right\} -$$

$$- \frac{\nu}{2R} \int_0^{\infty} a^2 u^2 dy - \frac{1}{R} \left[\int_0^{\infty} a v \left(\int_0^y a u^2 dy \right) dy - \int_0^{\infty} a u v \left(\int_0^y a u^2 dy \right) dy \right] = 0. \quad (2.3)$$

При выводе (2.3) использовано выражение (I.4).

Введем функцию тока ψ и новые переменные.

$$u = \frac{1}{\alpha} \frac{\partial \psi}{\partial y}, \quad v = -\frac{1}{\alpha} \left(1 - \frac{y}{R} \right) \frac{\partial \psi}{\partial x}, \quad \xi = x, \quad \eta = y (\nu x)^{-3/4}. \quad (2.4)$$

Первое уравнение системы (2.1) в новых переменных примет вид

$$-\frac{3}{4} \left(\frac{\partial \psi}{\partial \eta} \right)^2 + x \frac{\partial \psi}{\partial \eta} \frac{\partial^2 \psi}{\partial x \partial \eta} - x \frac{\partial \psi}{\partial x} \frac{\partial^2 \psi}{\partial \eta^2} - \alpha (\nu x)^{1/4} \frac{\partial^3 \psi}{\partial \eta^3} + \frac{1}{R} \left\{ -\nu^{3/4} x^{1/4} \frac{\partial \psi}{\partial x} \frac{\partial \psi}{\partial \eta} \right.$$

$$+ \frac{3}{4} \eta (\nu x)^{3/4} \left(\frac{\partial \psi}{\partial \eta} \right)^2 - \eta \nu^{3/4} x^{1/4} \frac{\partial \psi}{\partial \eta} \frac{\partial^2 \psi}{\partial x \partial \eta} + \eta \nu^{3/4} x^{1/4} \frac{\partial \psi}{\partial x} \frac{\partial^2 \psi}{\partial \eta^2} -$$

$$\left. - \alpha \nu x \frac{\partial^2 \psi}{\partial \eta^2} - \nu^{3/4} x^{1/4} \frac{\partial}{\partial x} \left[\int_0^{\infty} \left(\frac{\partial \psi}{\partial \eta} \right)^2 d\eta \right] + \frac{3}{4} (\nu x)^{3/4} \int_0^{\infty} \left(\frac{\partial \psi}{\partial \eta} \right)^2 d\eta \right\} = 0. \quad (2.5)$$

Здесь и далее вместо ξ сохранено прежнее обозначение x .

Строим функцию тока $\psi(x, \eta)$ в виде разложения по обратным степеням радиуса кривизны:

$$\psi(x, \eta) = (\nu x)^{1/4} \left[f_0(\eta) + \frac{(\nu x)^{3/4}}{R} f_1(\eta) + \dots \right]. \quad (2.6)$$

Подставим выражение (2.6) в уравнение (2.5) и приравняем коэффициенты при одинаковых степенях R , получим систему дифференциальных уравнений:

$$\alpha f_0''' + \frac{1}{4} f_0 f_0'' + \frac{1}{2} f_0'^2 = 0; \quad (2.7)$$

$$\alpha f_1''' + \frac{1}{4} f_0 f_1'' + \frac{1}{4} f_0' f_1' + f_0'' f_1 = \left(\frac{1}{2} f_0'^2 + \frac{1}{4} f_0 f_0'' \right) \eta - \frac{1}{4} f_0 f_0' - \alpha f_0'' + \frac{1}{4} \int_0^{\infty} f_0'^2 d\eta.$$

.....

Введем новую переменную $\bar{\eta} = \eta/a$. Тогда система (2.7) запишется так:

$$f_0''' + \frac{1}{4} f_0 f_0'' + \frac{1}{2} f_0'^2 = 0 ;$$

$$f_1''' + \frac{1}{4} f_0 f_1'' + \frac{1}{4} f_0' f_1' + f_0'' f_1 = a \left(\frac{1}{2} f_0'^2 + \frac{1}{4} f_0 f_0'' \right) \bar{\eta} - a f_0'' - \frac{a}{4} f_0 f_0' + \frac{a}{4} \int_0^{\bar{\eta}} f_0'^2 d\bar{\eta} \quad (2.8)$$

Здесь и далее вместо $\bar{\eta}$ сохраним прежнее обозначение η . Граничные условия для $f_0(\eta)$ и $f_1(\eta)$ из (2.2) с учетом (2.4) и (2.6) запишутся следующим образом:

$$f_0(0) = f_1(0) = f_0'(0) = f_1'(0) = f_0'(\infty) = f_1'(\infty) = 0. \quad (2.9)$$

В интегральном условии (2.3) перейдем к функции тока ψ и новым переменным (2.4), используя формулу (2.6). Выписывая коэффициенты при одинаковых степенях R , имеем следующие интегральные условия для функций f_0 и f_1 :

$$\int_0^{\infty} f_0 f_0'^2 d\eta = a^2 E_0 ;$$

$$\int_0^{\infty} (2 f_0 f_0' f_1' + f_0'^2 f_1) d\eta = a \left\{ \int_0^{\infty} \left(\frac{2}{3} f_0 + \eta f_0' \right) \left(\int_0^{\eta} f_0'^2 d\eta \right) d\eta + \int_0^{\infty} \left[\frac{2}{3} f_0'^2 + f_0 f_0' \left(\frac{1}{3} f_0 - \eta f_0' \right) \right] d\eta \right\}. \quad (2.10)$$

Первое уравнение системы (2.8) с соответствующими граничными (2.9) и интегральными (2.10) условиями совпадает с первым уравнением системы (I.10), граничными (I.11) и интегральными (I.12) условиями и имеет решение (I.13).

Второе уравнение (2.8) с учетом первого запишется как

$$f_1''' + \frac{1}{4} f_0 f_1'' + \frac{1}{4} f_0' f_1' + f_0'' f_1 = a \eta \left(\frac{1}{4} f_0 f_0'' + \frac{1}{2} f_0'^2 \right). \quad (2.11)$$

Общее решение (2.II) имеет вид (I.15). Частное решение уравнения (2.II) в переменной η , удовлетворяющее граничным условиям, имеет вид

$$\bar{f}_1(\eta) = \frac{\alpha}{7} \left(-\frac{3}{2} f_0' \eta^2 + \eta f_0 + 6 \right). \quad (2.I2)$$

Постоянные интегрирования в решении уравнения (2.II) определяются аналогично, как в работе [3]:

$$C_1 = \frac{\alpha}{14}, \quad C_2 = \alpha \frac{2-B}{14\bar{B}}, \quad C_3 = 0, \quad (2.I3)$$

где B и \bar{B} определены по формуле (I.18).

Окончательно решение уравнения (2.II) запишется так:

$$\begin{aligned} f_1(z) = & \frac{\alpha}{7} \left[6 + 12 z^2 \int_0^z \frac{dz}{1-z^3} - 36 z (1-z^3) \left(\int_0^z \frac{dz}{1-z^3} \right)^2 \right] + \\ & + \frac{6\alpha}{7} z (1-z^3) \int_0^z \frac{F\left(\frac{1}{6} + i \frac{\sqrt{47}}{6}; \frac{1}{6} - i \frac{\sqrt{47}}{6}; \frac{1}{3}; z^3\right)}{z^2 (1-z^3)^2} dz + \\ & + \frac{6\alpha(2-B)}{7\bar{B}} z (1-z^3) \int_0^z \frac{F\left(\frac{5}{6} + i \frac{\sqrt{47}}{6}; \frac{5}{6} - i \frac{\sqrt{47}}{6}; \frac{5}{3}; z^3\right)}{(1-z^3)^2} dz \quad (2.I4) \end{aligned}$$

Выражение осевой скорости согласно (2.4) и (2.6) имеет вид

$$u = \frac{1}{\alpha^2} (\nu x)^{-1/2} \left[f_0'(\eta) + \frac{(\nu x)^{3/4}}{R} f_1'(\eta) \right]. \quad (2.I5)$$

Изменение осевой скорости по ширине струи представлено на рис.5. Здесь принято $\bar{u} = u \alpha^2 (\nu x)^{1/2}$. Из рисунка следует, что при увеличении кривизны стенки профиль скорости вблизи неё приобретает отрывной характер и уже при $\frac{(\nu x)^{3/4}}{R} = 0,2$ обнаруживается слабый обратный ток.

Напряжение трения на поверхности определяем по формуле

$$\tau_w = \mu (\partial u / \partial y) = \mu \alpha^{-3} (\nu x)^{-5/4} \left[f_0''(\eta) + \alpha \bar{f}_1''(\eta) \right].$$

Из условия $\tau_w = 0$ найдем координату точки отрыва струи от криволинейной поверхности

$$x_{отр} = \frac{1}{\nu} \left[-2 \frac{f_0''(0)}{f_1''(0)} \right]^{4/3} \quad (2.I6)$$

Подставляя в (2.16) $f_0''(0)$ и $f_1''(0)$ согласно (1.13) и (2.14), получим

$$x_{отр} = \frac{1}{\sqrt{v}} \left[-R \frac{7\bar{B}}{6(2-B)} \right]^{4/3} \quad (2.17)$$

откуда следует, что координата точки отрыва зависит от свойств жидкости и от радиуса кривизны поверхности. Распределение давления поперек струи согласно выражениям (1.4) и (2.15) имеет вид

$$\frac{p_\infty - p}{\rho} = \frac{1}{R(\nu x)^{1/4} a^3} \int_0^\infty [f_0'^2(\eta) +$$

$$+ 2\bar{\alpha} f_0'(\eta) f_1'(\eta)] d\eta.$$

Изменение давления $\alpha = 0,01$ и $0,02$ представлено на рис.3.

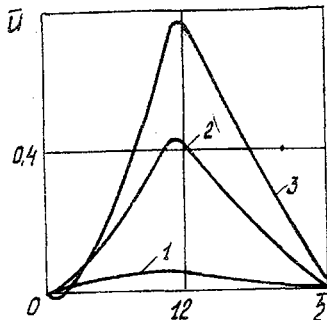


Рис.5. Изменение скорости \bar{U} по сечению осесимметричной струи ξ
 1 - $\bar{\alpha} = 0$ ($10 \bar{U}$); 2 - $\bar{\alpha} = 0,1$;
 3 - $\bar{\alpha} = 0,2$.

ЛИТЕРАТУРА

1. Акатнов Н.И., Сям Мян-Фын. Плоская полуограниченная струя на криволинейной поверхности. ПМТФ, 1962, № 6.
2. Акатнов Н.И. Распространение плоской ламинарной струи несжимаемой жидкости вдоль твердой стенки. Труды ЛПИ, 1953, № 5.
3. Коробко В.И., Фалькович С.В. Развитие плоских ламинарных струй на пористой плоскости и криволинейной поверхности. Сб. "Аэродинамика", вып.1, изд. СГУ, Саратов, 1972.
4. Коробко В.И., Фалькович С.В. Некоторые неавтоматические задачи теории струйных течений. Изв.АН СССР, МГУ, 1970, № 2.
5. Таблицы логарифмов гамма-функции в комплексной области. Вд АН СССР, М., 1966.
6. Гинабург И.П. Теория сопротивления и теплопередачи. Изд. ЛГУ, 1970.